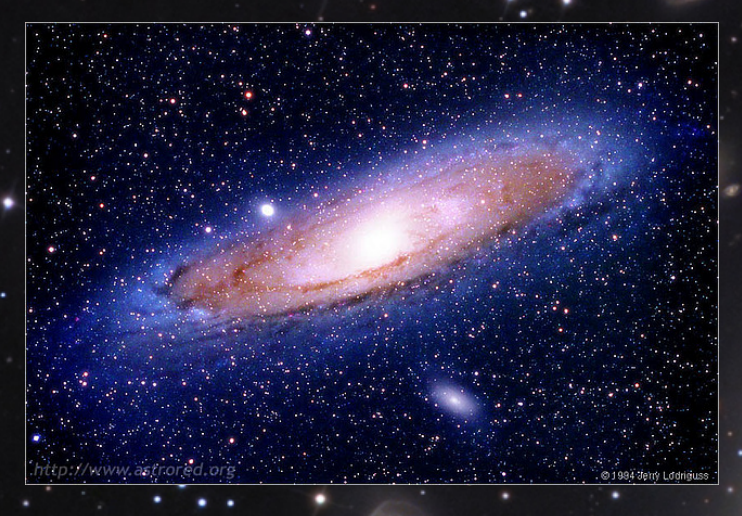
Daniele Cini, Marco Coppola, Caterina Derossi e Elena Sofia Lappon

# CINEMATICA DELLE STELLE IN NGC7331 Dispersione di velocità e massa del bulge

Il cielo come laboratorio as. 2011/2012

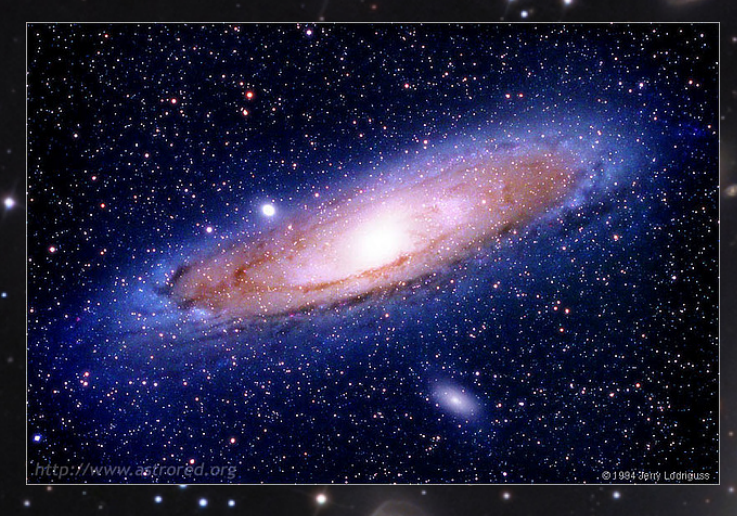
#### Classificazione morfologica di Hubble

#### Galassie ellittiche



# Classificazione morfologica di Hubble

#### Galassie ellittiche

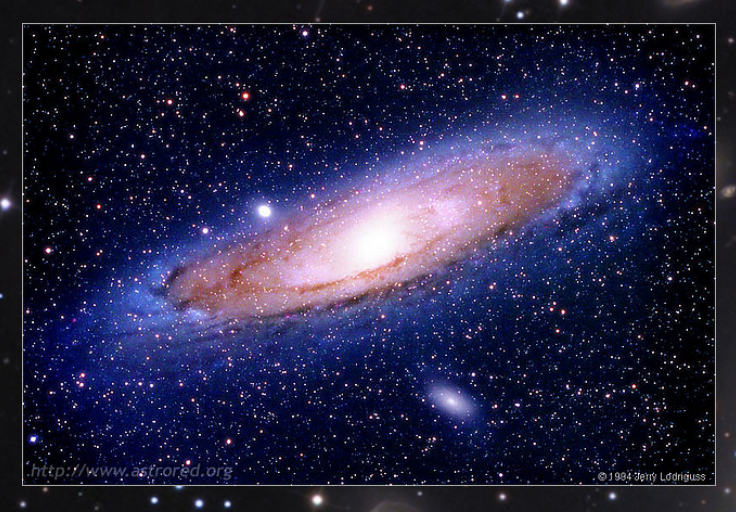


#### Galassie lenticolari



# Classificazione morfologica di Hubble

#### Galassie ellittiche



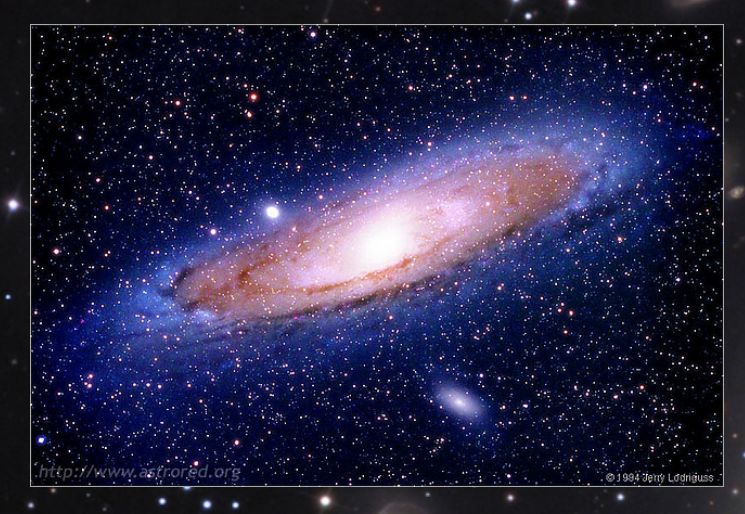
Galassie lenticolari





# Classificazione morfologica di Hubble

#### Galassie ellittiche



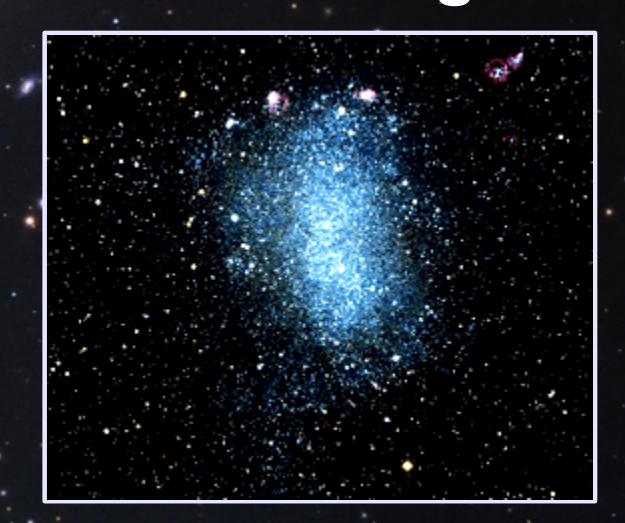
Galassie lenticolari



Galassie a spirale



Galassie irregolari



\* Contengono dalle 10° alle 10¹¹ stelle

- \* Contengono dalle 10° alle 10¹¹ stelle
- ★ Diametro compreso tra i 10³ e i 10⁵ pc

- \* Contengono dalle 10° alle 10¹¹ stelle
- ★ Diametro compreso tra i 10³ e i 10⁵ pc
- ⋆ Tipi spettrali più diffusi nel bulge: G, K e M

- \* Contengono dalle 10° alle 10¹¹ stelle
- ★ Diametro compreso tra i 10³ e i 10⁵ pc
- \* Tipi spettrali più diffusi nel bulge: G, K e M
- \* Bracci: formazione stellare

- \* Contengono dalle 10° alle 10¹¹ stelle
- ★ Diametro compreso tra i 10³ e i 10⁵ pc
- ⋆ Tipi spettrali più diffusi nel bulge: G, K e M
- \* Bracci: formazione stellare
- Bulge: stelle di popolazione II

# Cinematica delle stelle nelle galassie ellittiche

Le stelle si muovono di moto disordinato attorno al centro di massa...

# Cinematica delle stelle nelle galassie ellittiche

Le stelle si muovono di moto disordinato attorno al centro di massa...

... le righe spettrali subiscono un allargamento

# Cinematica delle stelle nelle galassie ellittiche

Le stelle si muovono di moto disordinato attorno al centro di massa...

... le righe spettrali subiscono un allargamento

Si studia l'allargamento delle righe spettrali

Maggiore massa

Maggiore potenziale gravitazionale

Maggiore dispersione di velocità

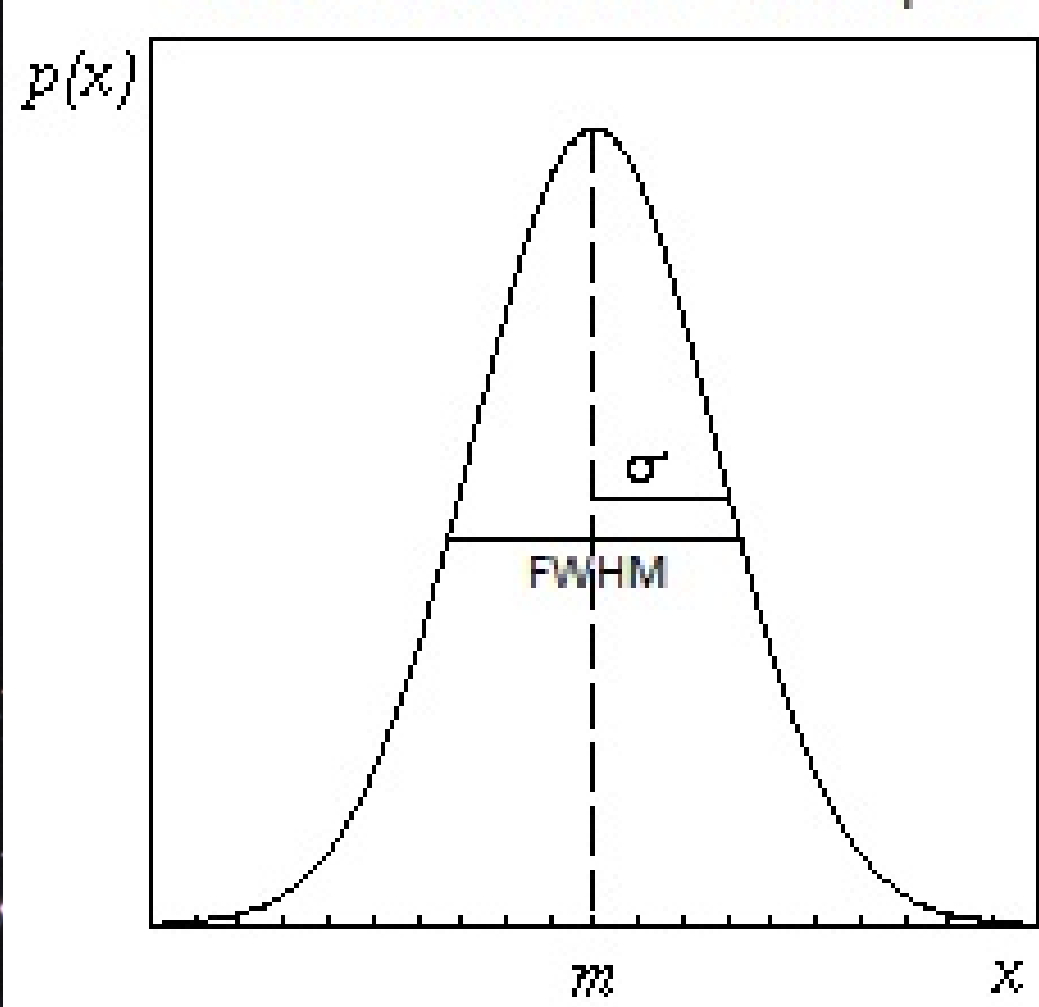


Maggiore potenziale gravitazionale

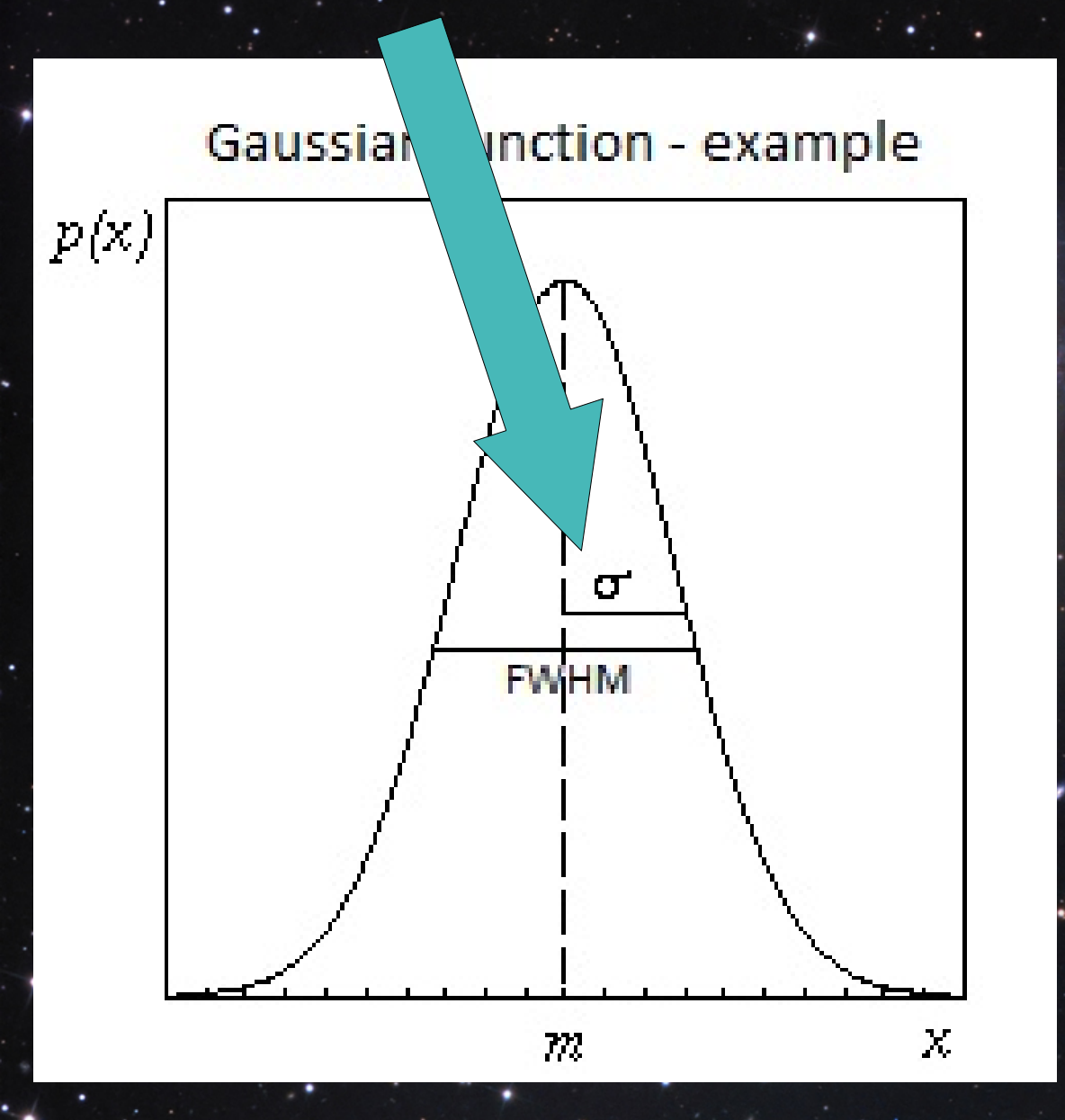
Maggiore dispersione di velocità

La distribuzione della componente delle velocità risulta descritta da leggi probabilistiche

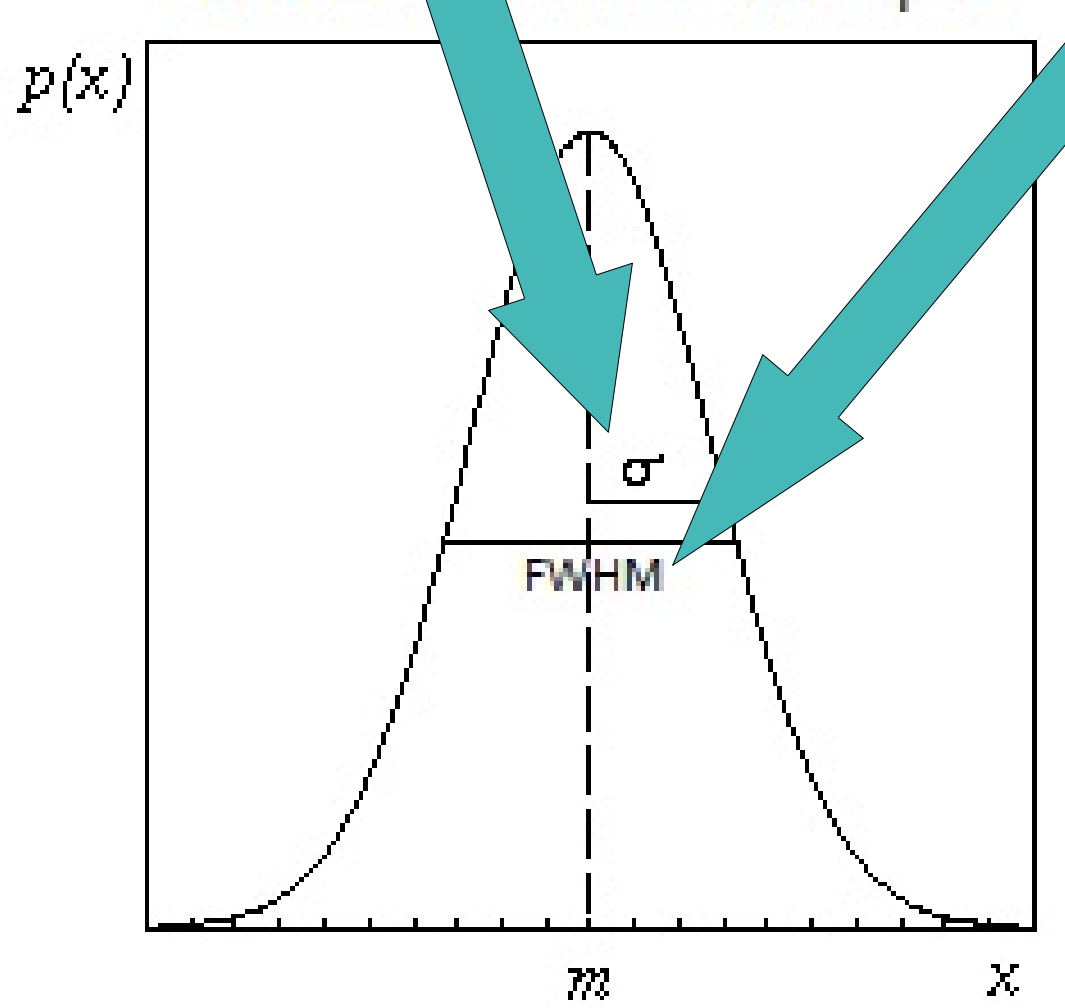
#### Gaussian function - example

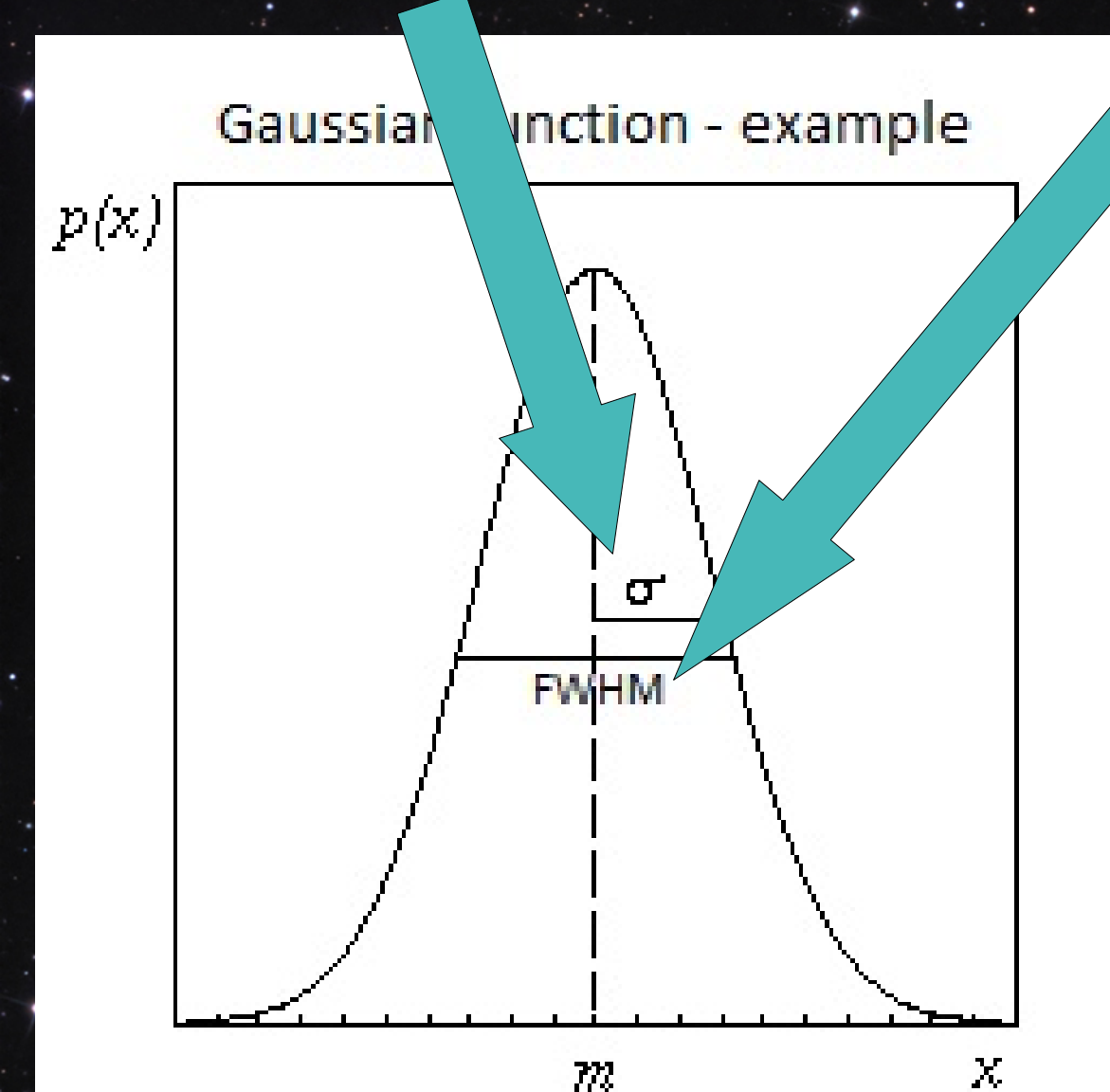


#### Dispersione di velocità







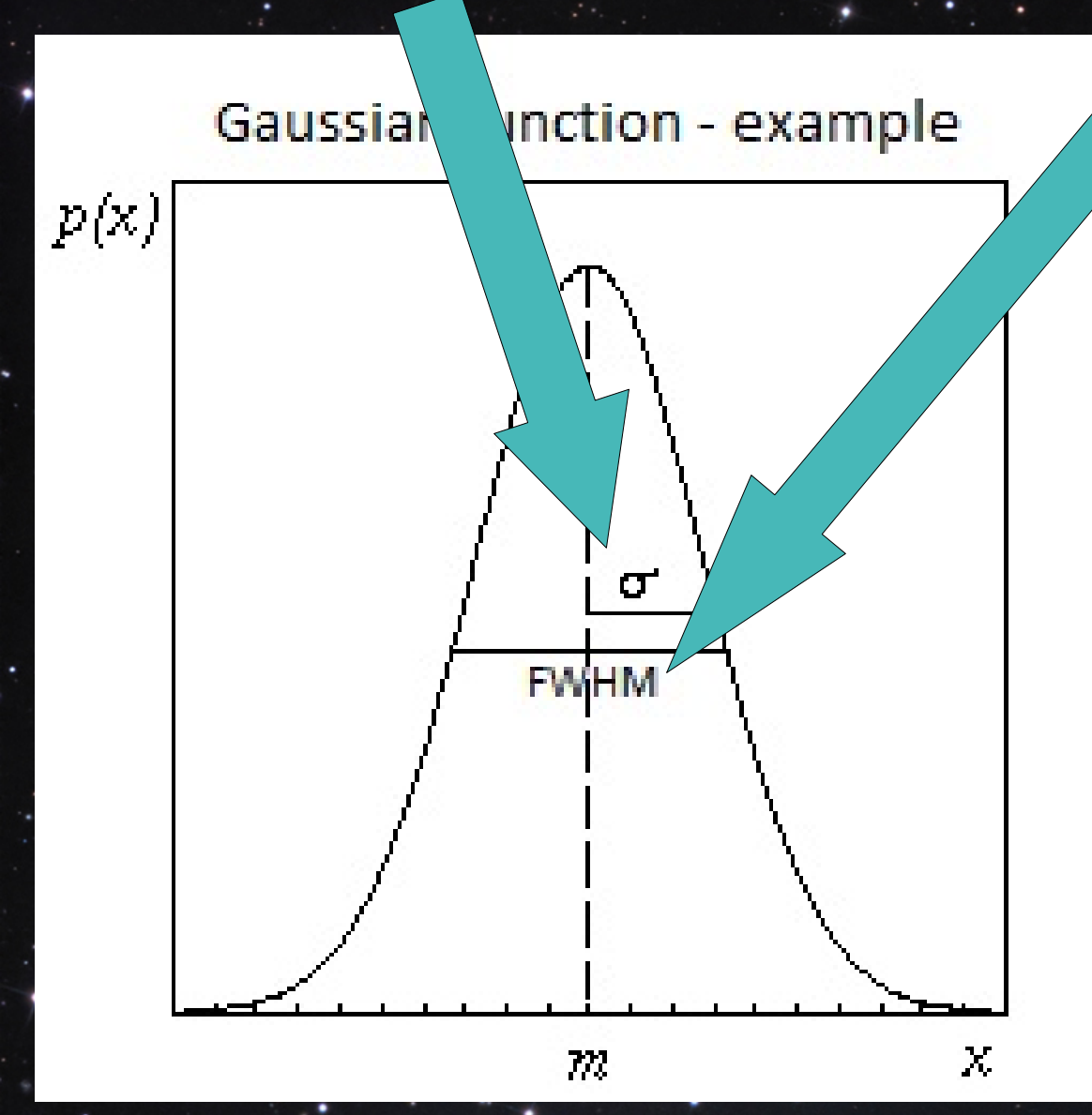


Maggiore allargamento della riga

**Maggiore sigma** 

#### Dispersione di velocità

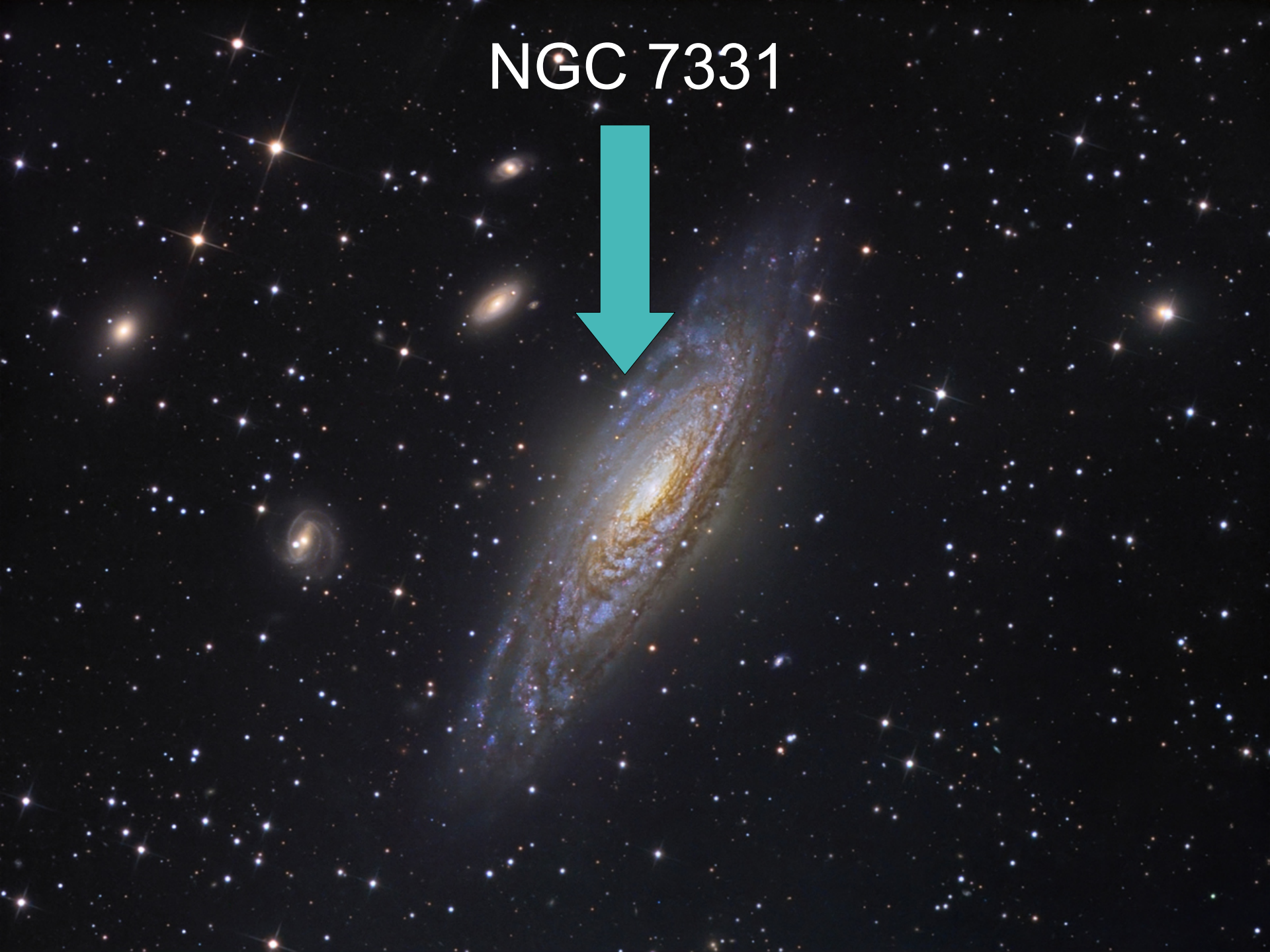
#### **Full Width at Half Maximum**



Maggiore allargamento della riga

Maggiore sigma

 $FWHM = 2.35 \times \sigma$ 



### NGC 7331

Galassia a spirale

Distanza: 12.2 Mpc

Massa: 10<sup>41</sup> kg

Costellazione di Pegaso

RA: 22h 37m 4.1 s

DEC: 34° 24' 56"

Dimensione angolare: 10.5'x3.7'

#### **PROCEDIMENTO**

- Preparazione degli spettri
- Convoluzione dello spettro stellare con gaussiane di σ crescente
- Suddivisione dello spettro in più regioni
- Correlazione dello spettro stellare originale con quelli convoluti (IRAF, blkavg)
- Misura della FWHM del picco di correlazione (IRAF, fxcor)
- Individuazione del polinomio (Excel)
- Correlazione dello spettro galattico con quello stellare (Excel)
- Calcolo della dispersione di velocità
- Calcolo della massa della galassia

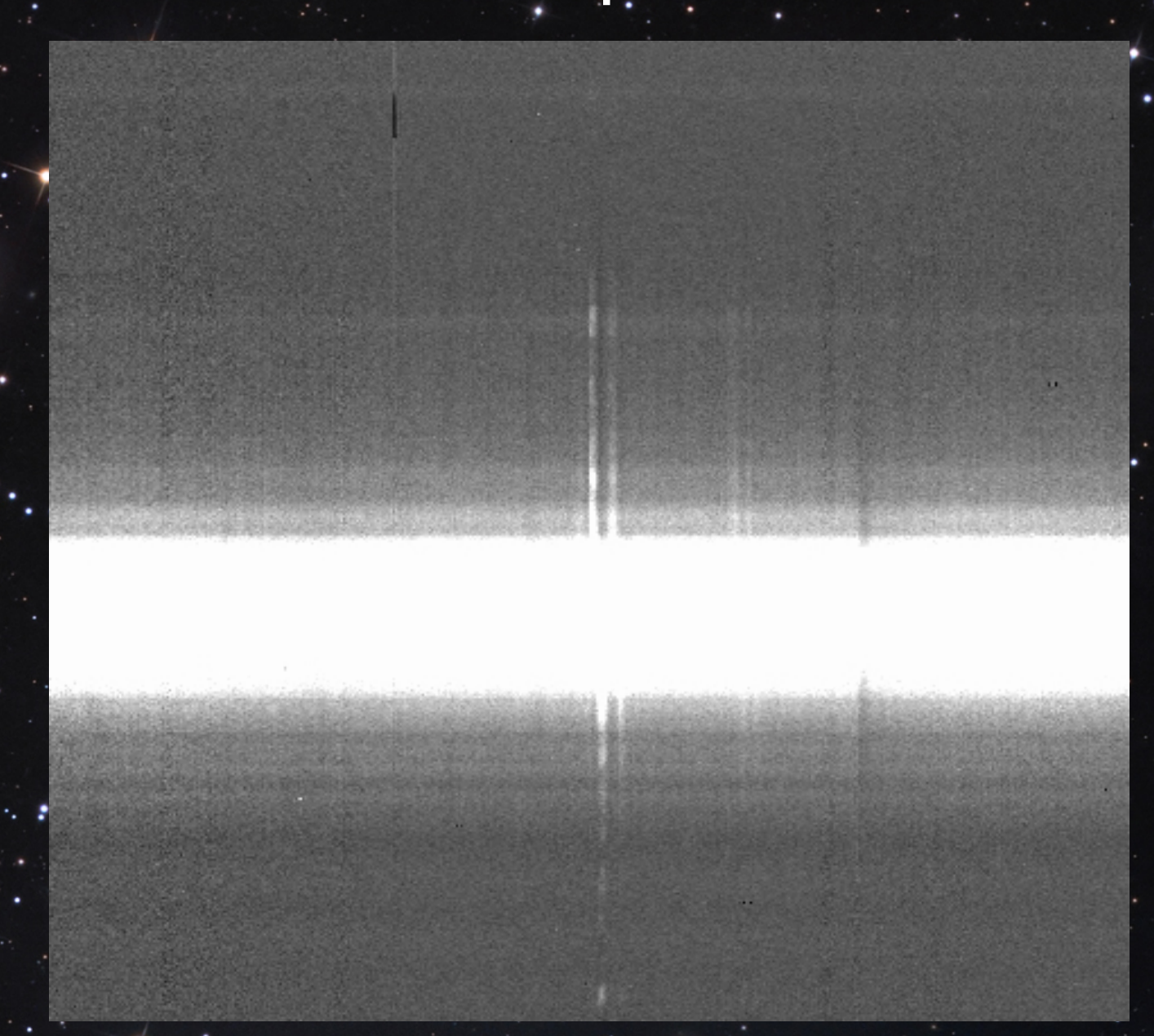
# Ottenimento dello spettro

Si posiziona uno spettrografo a fenditura lungo l'asse maggiore...

# Ottenimento dello spettro

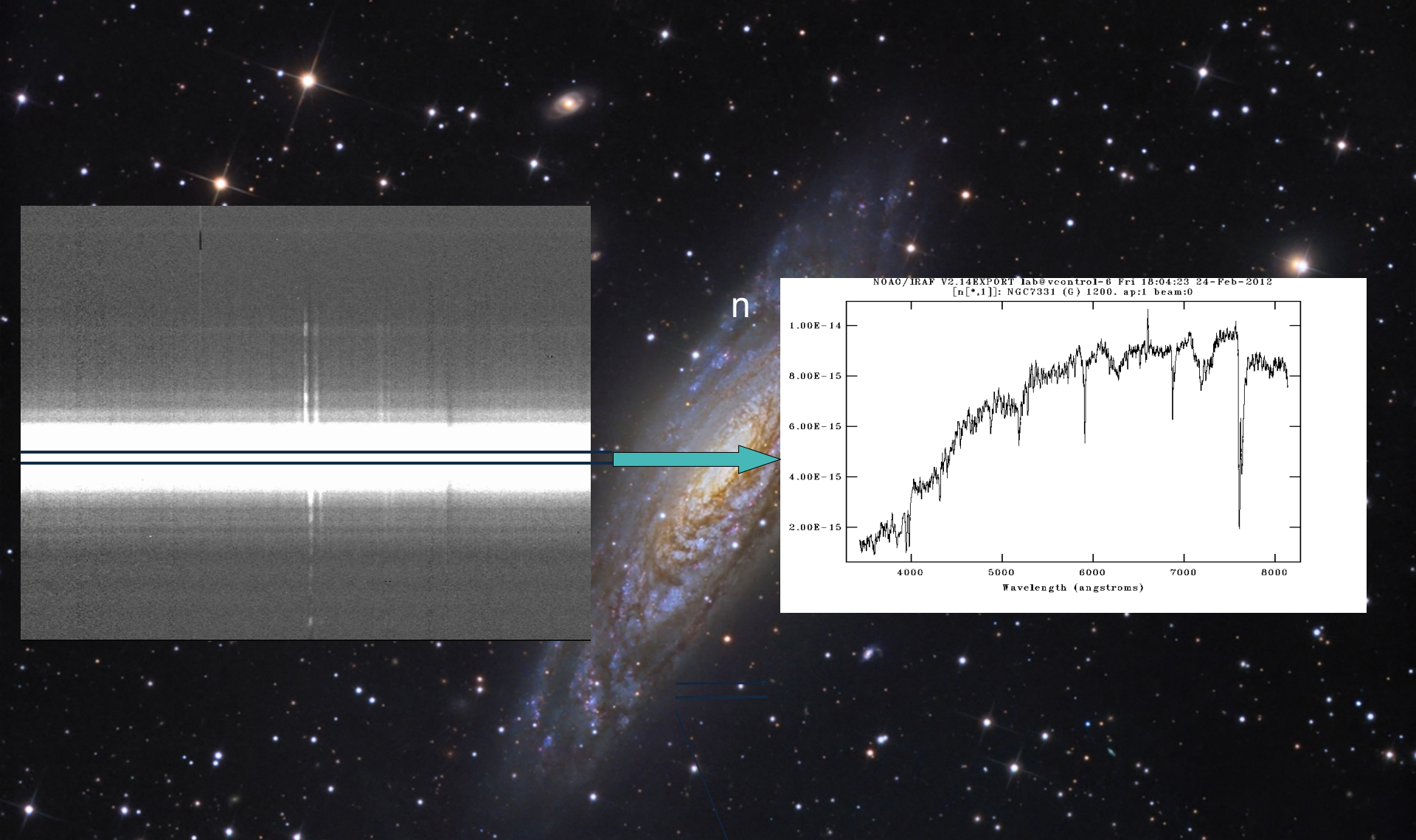
Si posiziona uno spettrografo a fenditura lungo l'asse maggiore...

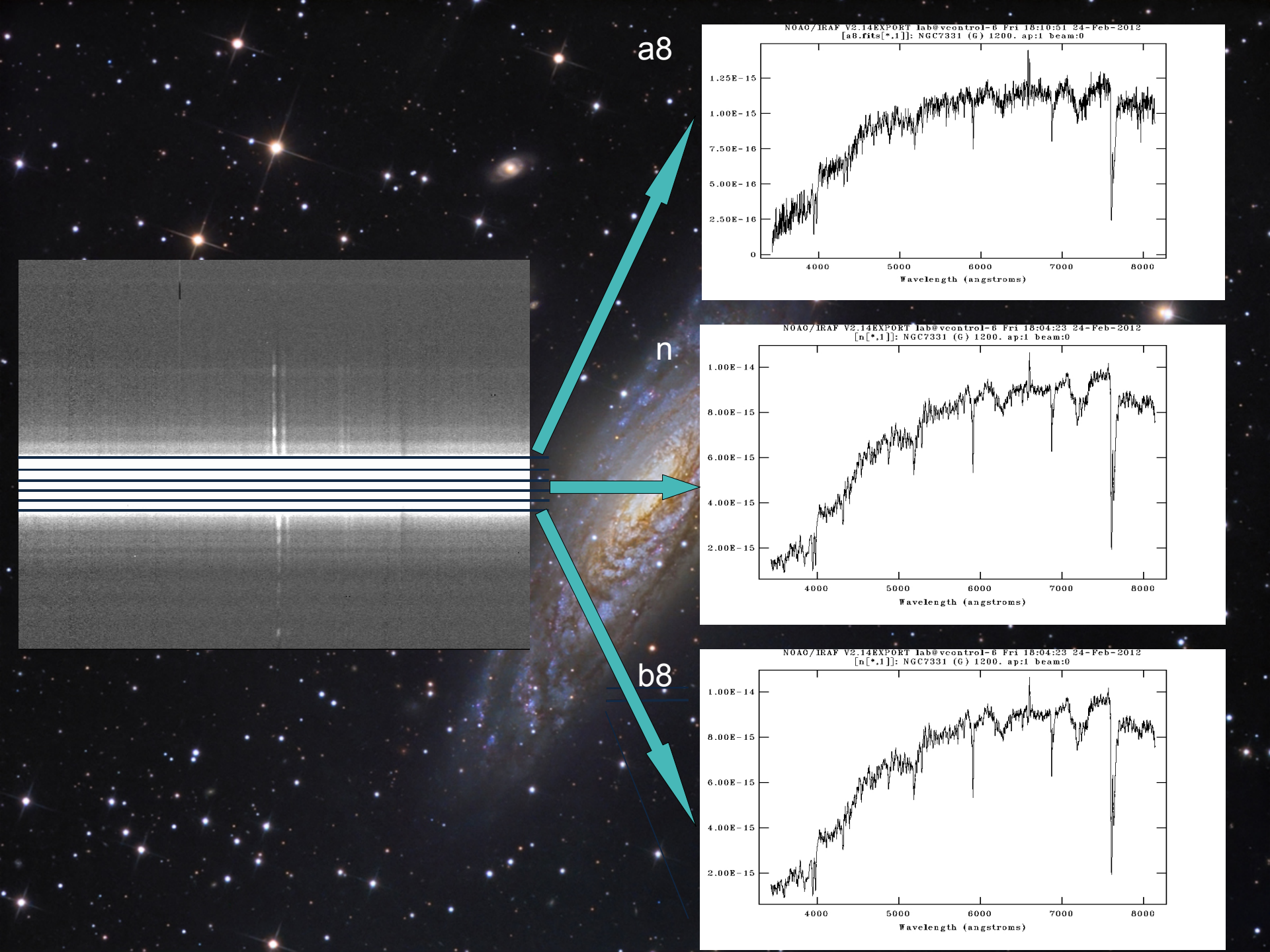
...e si ottiene uno spettro a fenditura



### Suddivisione dello spettro in regioni

Si incomincia dal centro della galassia spostandosi verso l'esterno





### Suddivisione dello spettro in regioni

Si incomincia dal centro della galassia spostandosi verso l'esterno

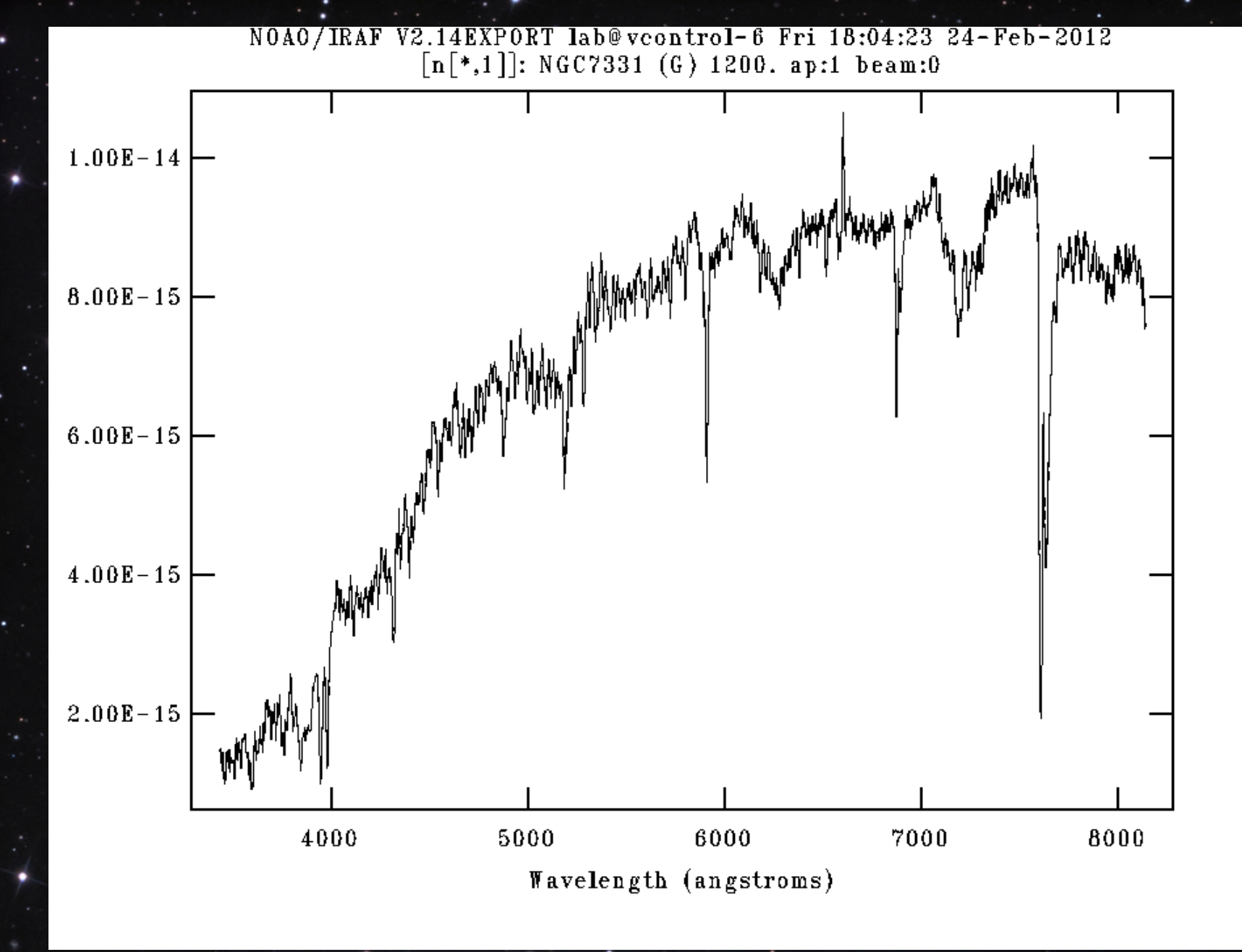
Dimensione singola regione: 3 arcsec

### Suddivisione dello spettro in regioni

Si incomincia dal centro della galassia spostandosi verso l'esterno

Dimensione singola regione: 3 arcsec

Si ottengono 29 spettri



Spettro della zona centrale della galassia

# Ma non è possibile allontanarsi troppo dal centro

### Ma non è possibile allontanarsi troppo dal centro

perchè

Il rapporto segnale/rumore è troppo piccolo

### Ma non è possibile allontanarsi troppo dal centro

perchè

Il rapporto segnale/rumore è troppo piccolo

quindi

I valori ottenuti perdono di significato

Spettro galassia

# Funzione gaussiana.

$$G = S \otimes F(x)$$

Spettro stelle

Si crea un modello fittizio con sigma prestabilito...

Si crea un modello fittizio con sigma prestabilito...

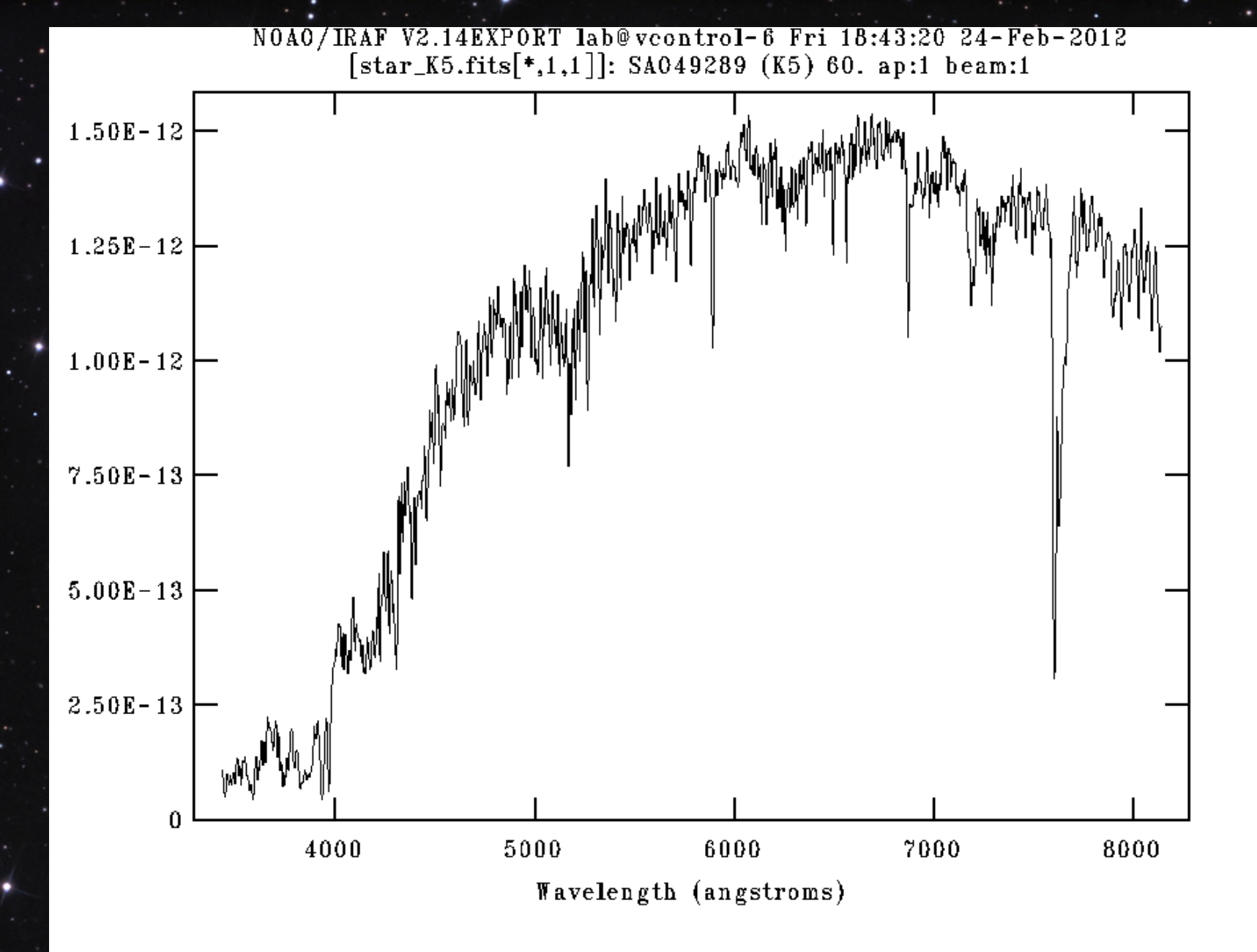
... per individuare una funzione polinomiale che descriva la relazione tra sigma e FWHM

Si crea un modello fittizio con sigma prestabilito...

... per individuare una funzione polinomiale che descriva la relazione tra sigma e FWHM

A questo scopo si utilizzano spettri di stelle K5 convoluti con gaussiane di sigma definito

Sigma (6)
50
100
150
200
250
300
350
400



Spettro di una stella K5

## Analisi del picco di correlazione

La posizione del picco dà la velocità radiale

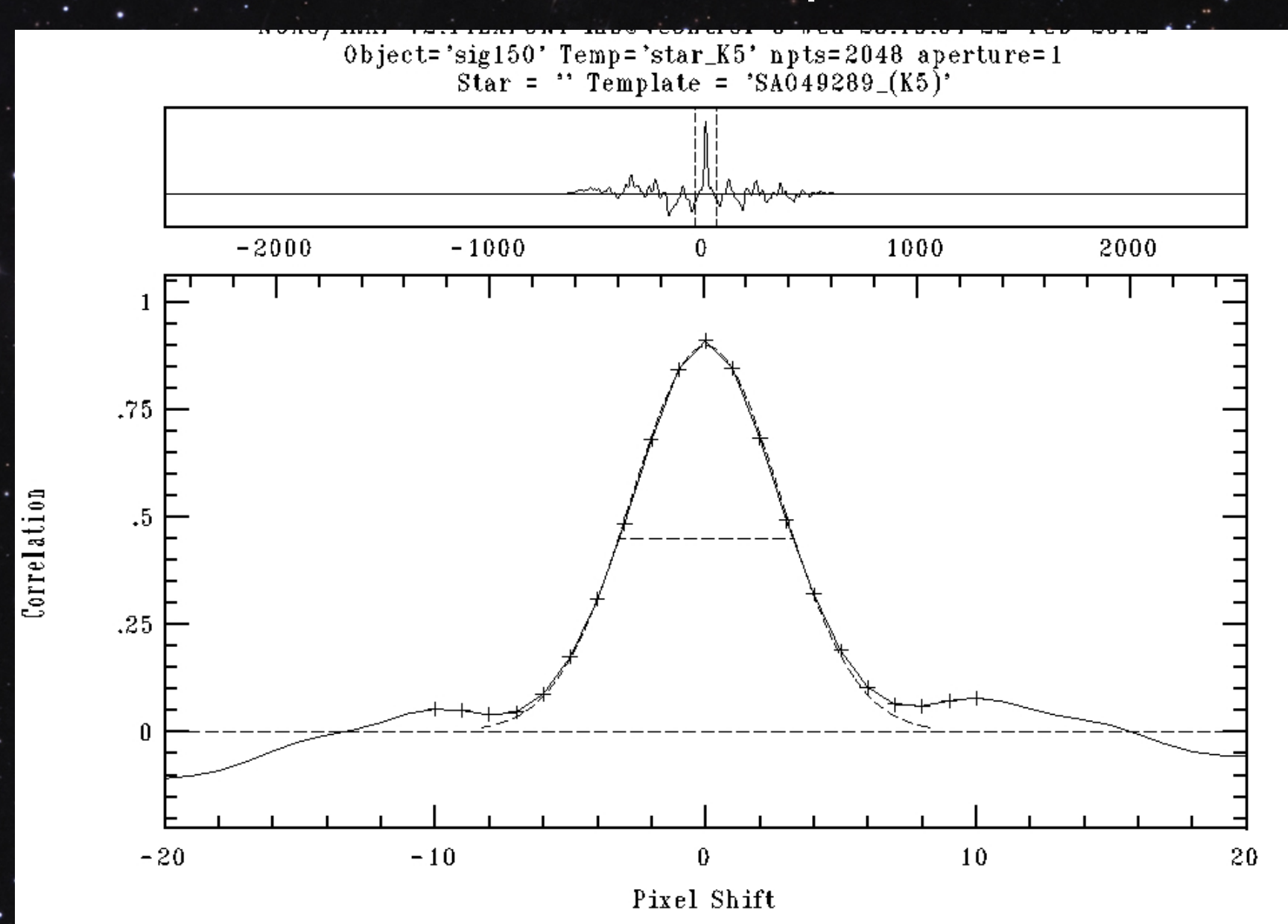
### Analisi del picco di correlazione

La posizione del picco dà la velocità radiale



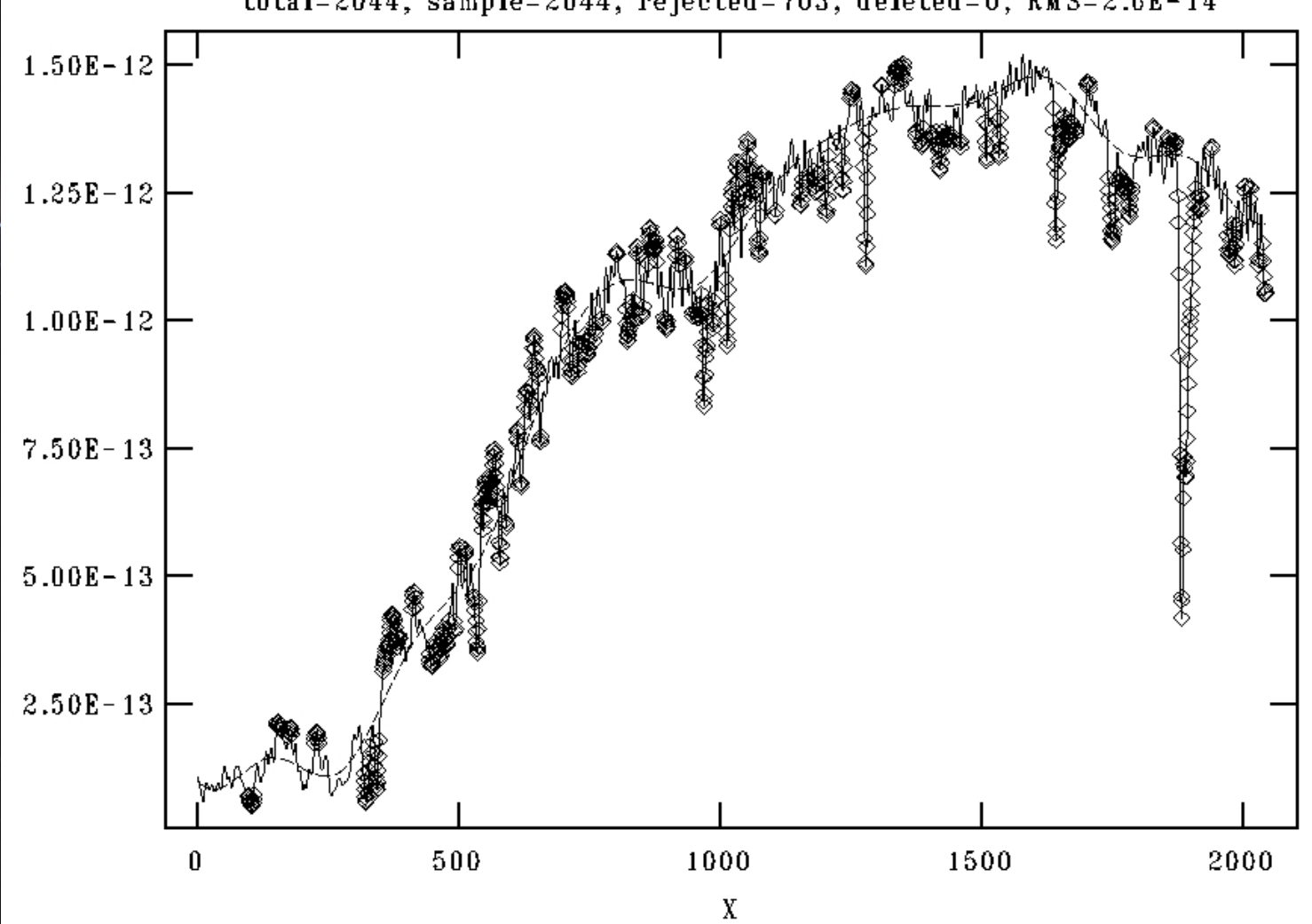
La larghezza a metà altezza è legata alla dispersione di velocità

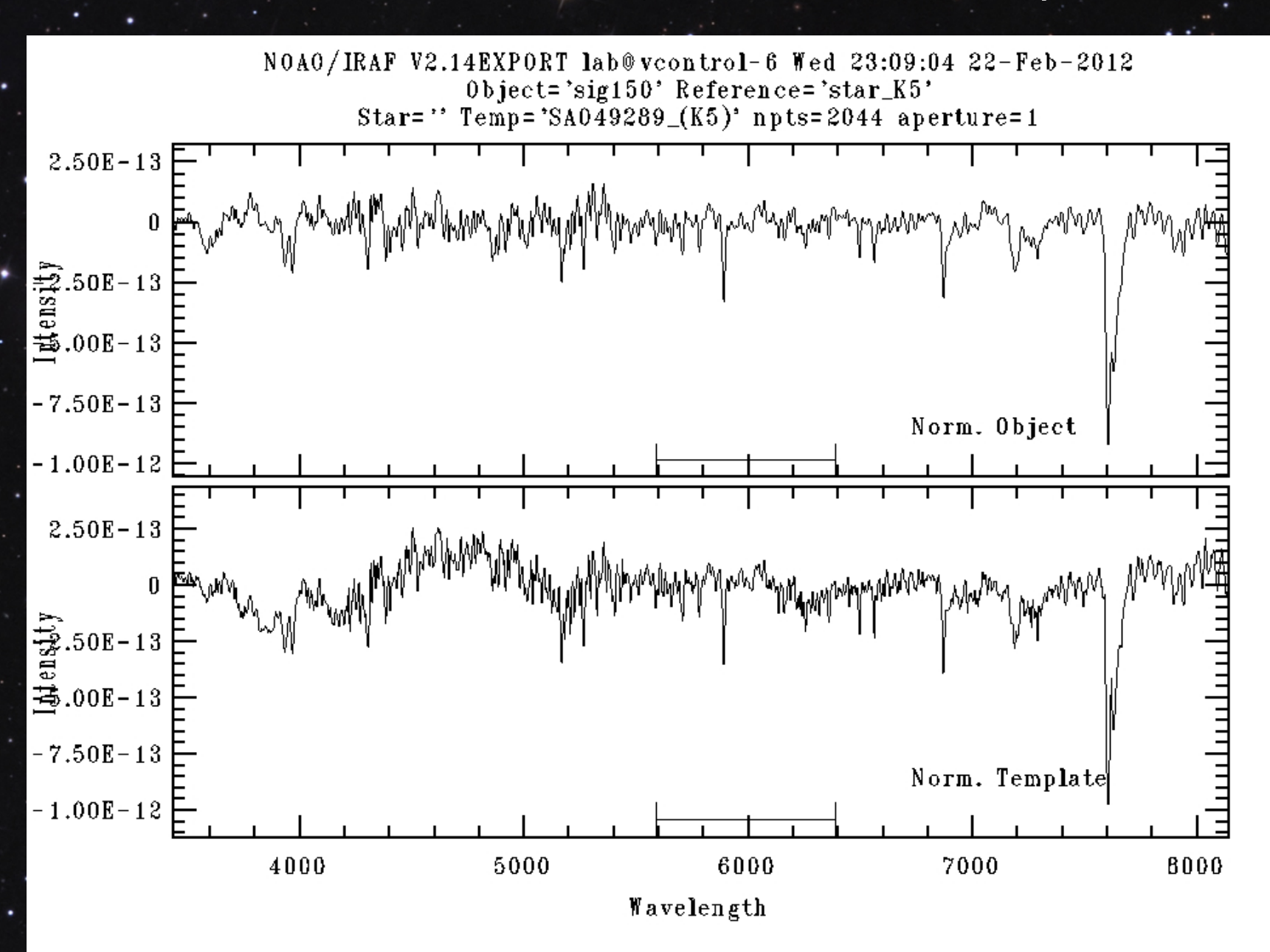
#### Funzione di cross-correlazione e picco di correlazione



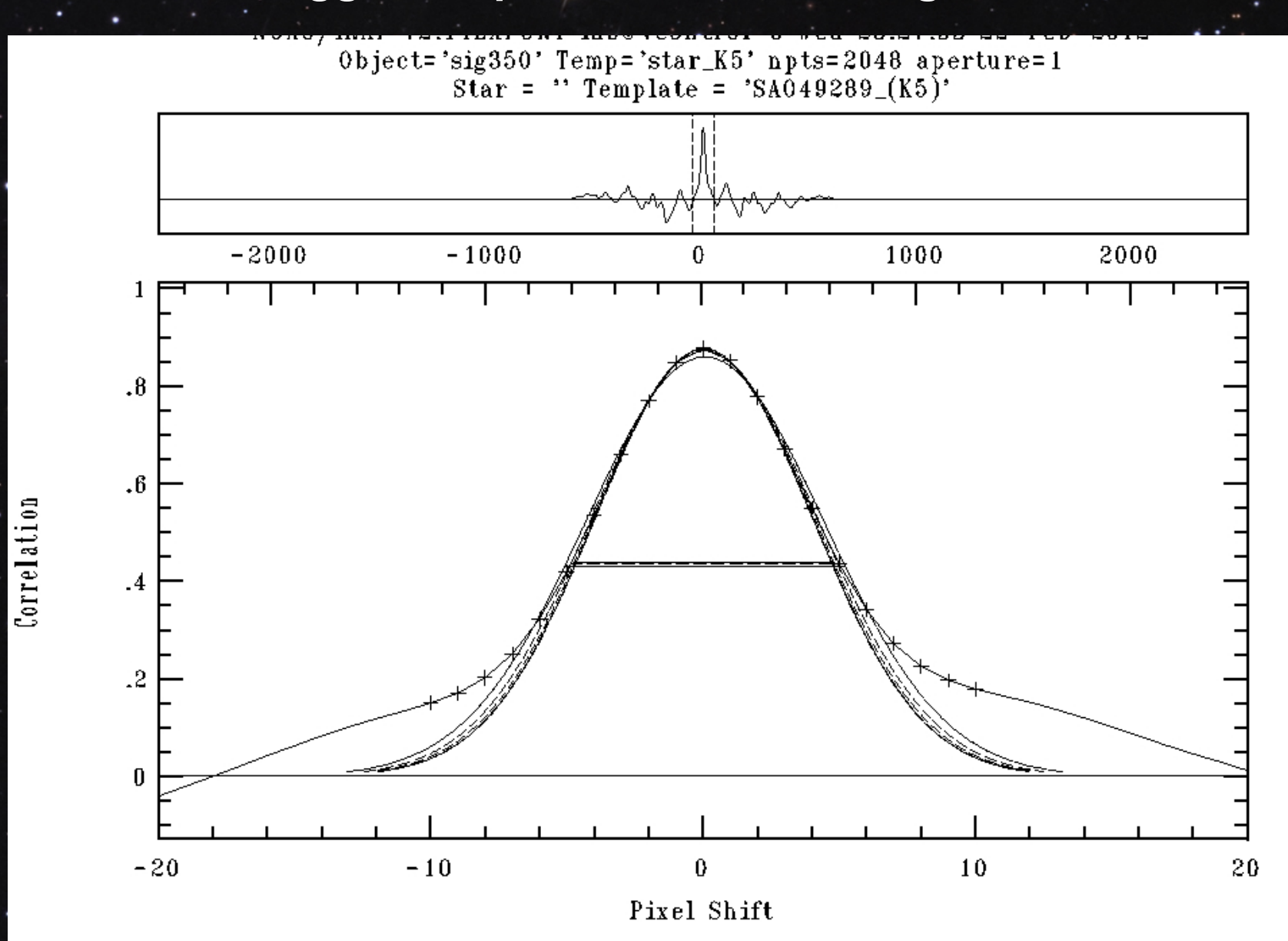
#### Appiattimento degli spettri con funzione polinomiale

NOAO/IRAF V2.14EXPORT lab@vcontrol-6 Wed 23:12:15 22-Feb-2012 func=spline3, order=15, low\_rej=2, high\_rej=2, niterate=10, grow=1 total=2044, sample=2044, rejected=703, deleted=0, RMS=2.6E-14

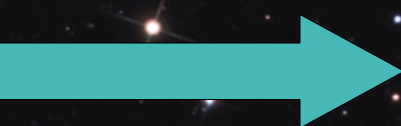




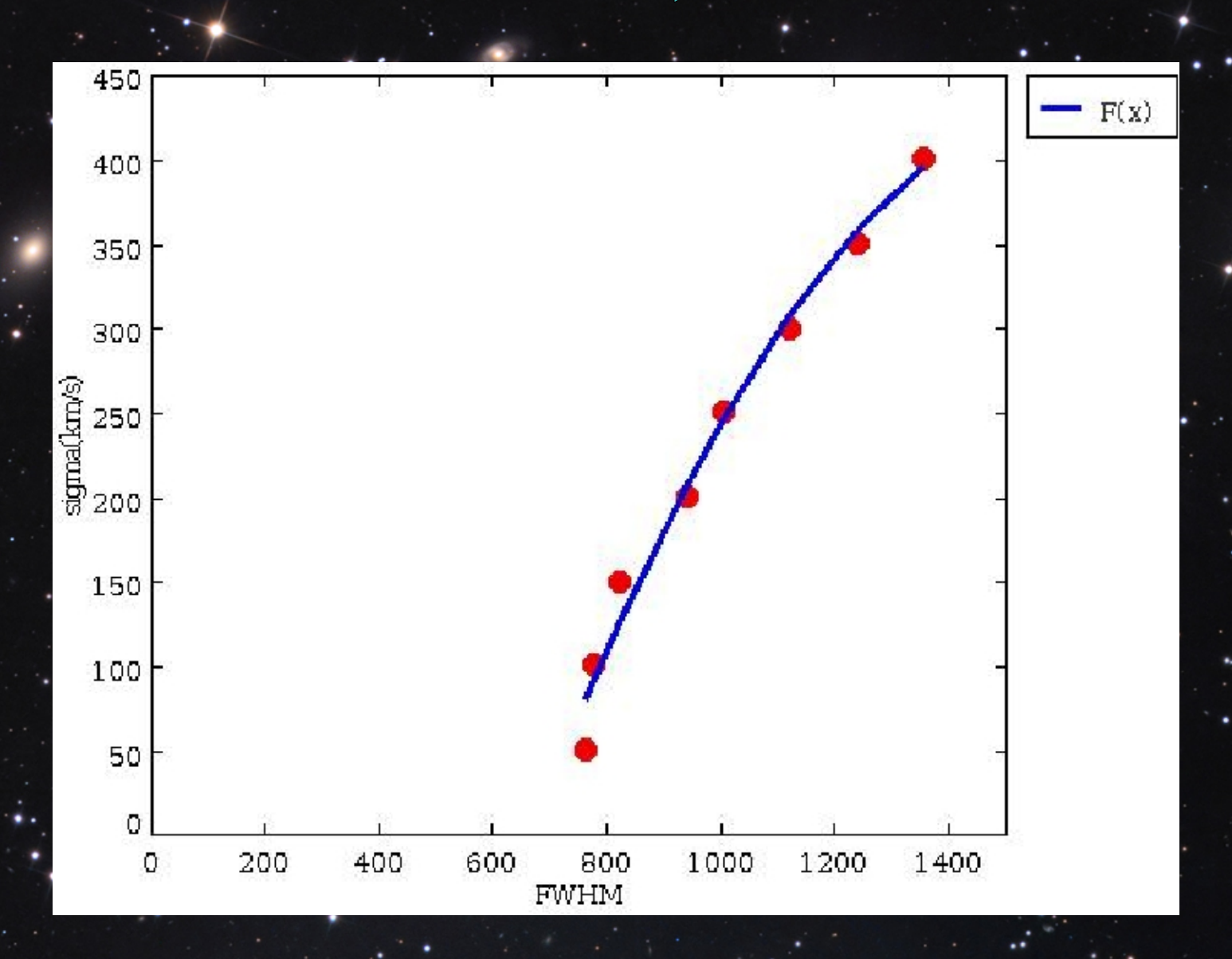
#### Fittaggio del picco con funzione gaussiana



Si annotano i valori di FWHM...



...e si crea un grafico 6-FWHM



# Dalla funzione interpolante si ottiene un polinomio di calibrazione

$$\sigma = 0.00045 \cdot (FWHM)^2 + 1.4872 \cdot (FWHM) - 794.47$$

Spettri regioni galassia

Spettro stella K5

Spettri regioni galassia

Cross-correlazione e analisi del picco...

Spettro stella K5

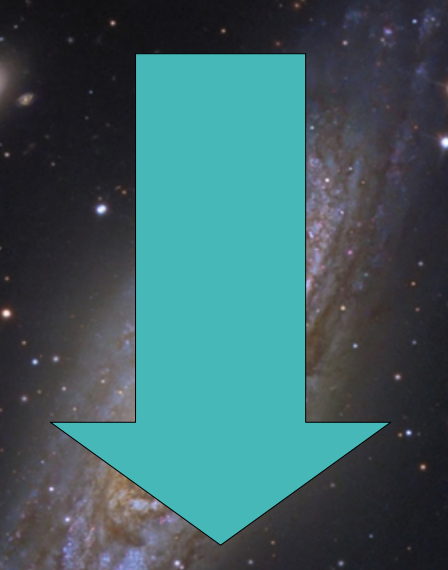
Spettri regioni galassia

Cross-correlazione e analisi del picco... ...ottenuti i valori effettivi di FWHM e velocità radiali

Spettro stella K5

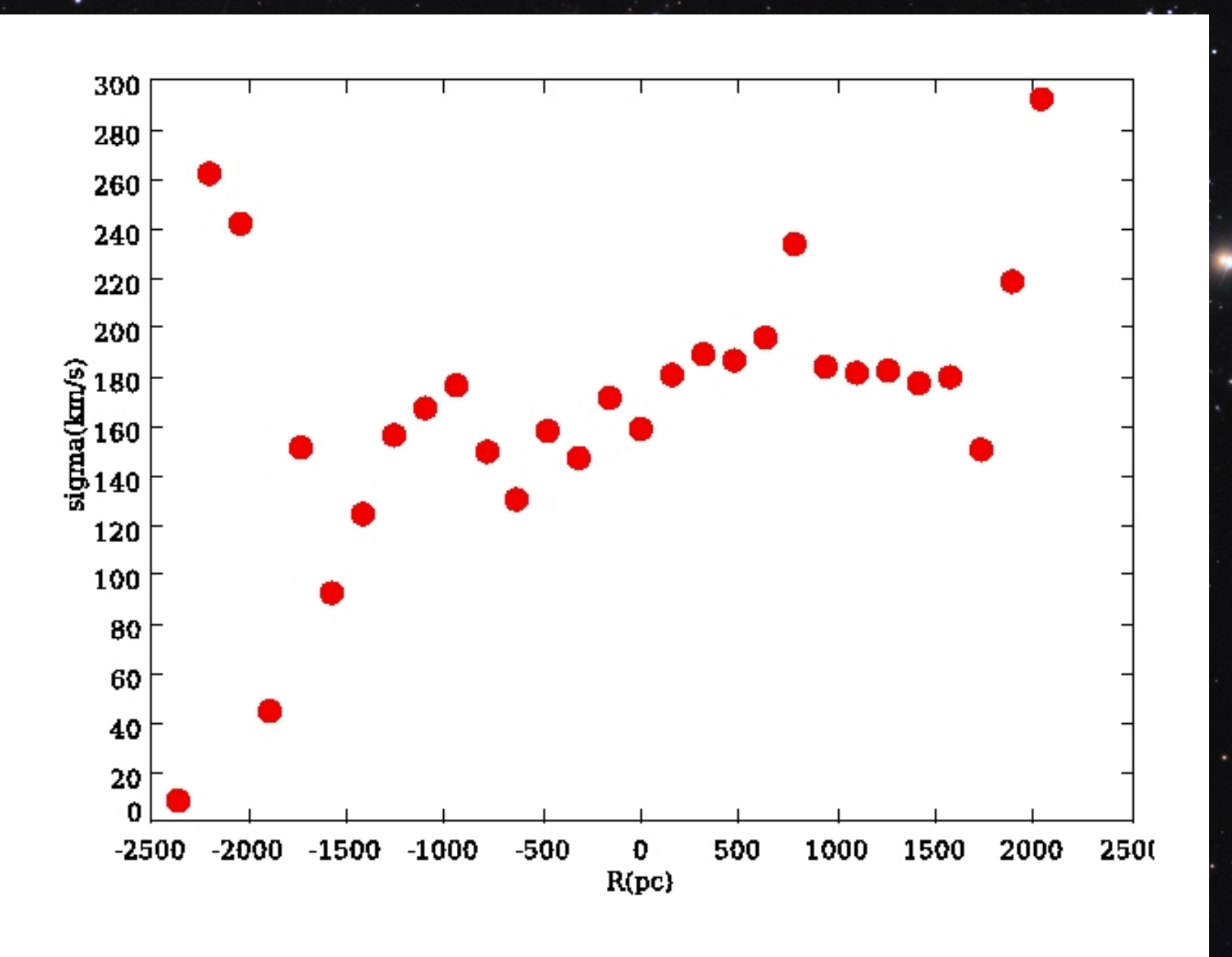
## Si inseriscono i valori di FWHM trovati nel polinomio di calibrazione...

### Si inseriscono i valori di FWHM trovati nel polinomio di calibrazione...



...e si ottengono valori della dispersione di velocità al variare del raggio

#### Costruisco grafico raggio/sigma



### Calcolo della massa del bulge

**Teorema del Viriale** 

$$2K + \Omega = 0$$

#### Calcolo della massa del bulge

#### Teorema del Viriale

$$2K + \Omega = 0$$

$$K = \frac{M(r_{eff}) \times [\sigma(r_{eff})]^2}{2}$$

$$\Omega = \frac{-G \times [M(r_{eff})]^2}{r_{eff}}$$

## ...e con dovuti calcoli si giunge alla formula della massa del bulge

$$M = \frac{r_{eff} \cdot \sigma^2}{0.33 \cdot G}$$

Dove 0.33 è un fattore di calibrazione

## È necessario convertire il raggio efficace in pc...

$$r_{eff}(kpc) = \frac{r_{eff}(arcsec) \times D(kpc)}{206265}$$

# È necessario convertire il raggio efficace in pc...

$$r_{eff}(kpc) = \frac{r_{eff}(arcsec) \times D(kpc)}{206265}$$

...per fare questo si deve prima calcolare la distanza

Legge di Hubble  $v=H_0\times d$ 

$$v = H_0 \times d$$

Legge di Hubble  $v=H_0\times d$ 

$$v = H_0 \times d$$

 $v = 810 \, km/s$ 

Legge di Hubble 
$$v=H_0\times d$$

$$v = H_0 \times d$$

$$v = 810 \, km/s$$

$$H_0 = 75 Mpc/(km/s)$$

Legge di Hubble 
$$v=H_0\times d$$

$$v = H_0 \times d$$

$$v = 810 \, km/s$$

$$H_0 = 75 Mpc I(km/s)$$



Legge di Hubble 
$$v=H_0\times d$$

$$v = H_0 \times d$$

$$v = 810 \, km/s$$

$$H_0 = 75 Mpc I(km/s)$$



d = 10.8 Mpc

....ed è possibile convertire Il raggio in pc

$$r_{eff} = 34 \, arcsec$$

Legge di Hubble 
$$v=H_0\times d$$

$$v = H_0 \times d$$

$$v = 810 \, km/s$$

$$H_0 = 75 Mpc I(km/s)$$



 $d = 10.8 \, Mpc$ 

### ....ed è possibile convertire Il raggio in pc

$$r_{eff} = 34 \, arcsec$$

$$r_{eff} = 1.83 \, kpc$$

## Il valore di sigma da utilizzare è quello alla distanza del raggio efficace

## Il valore di sigma da utilizzare è quello alla distanza del raggio efficace

nel nostro caso però il grafico 6-raggio aveva andamento piatto...

## Il valore di sigma da utilizzare è quello alla distanza del raggio efficace

nel nostro caso però il grafico 6-raggio aveva andamento piatto...

...è possibile applicare una media dei valori

 $\sigma = 166 \, km/s$ 

Si inseriscono infine i valori nella formula facendo attenzione alle unità di misura

$$M = \frac{r_{eff} \cdot \sigma^2}{0.33 \cdot G}$$

Si inseriscono infine i valori nella formula facendo attenzione alle unità di misura

$$M = \frac{r_{eff} \cdot \sigma^2}{0.33 \cdot G}$$



...e si ottiene il valore della massa Si inseriscono infine i valori nella formula facendo attenzione alle unità di misura

$$M = \frac{r_{eff} \cdot \sigma^2}{0.33 \cdot G}$$



...e si ottiene il valore della massa

$$M = 9 \times 10^{40} kg$$

## Un passo in più: curva di velocità

Si costruisce un grafico velocità radiale e distanza dal centro...

## Un passo in più: curva di velocità

Si costruisce un grafico velocità radiale e distanza dal centro...

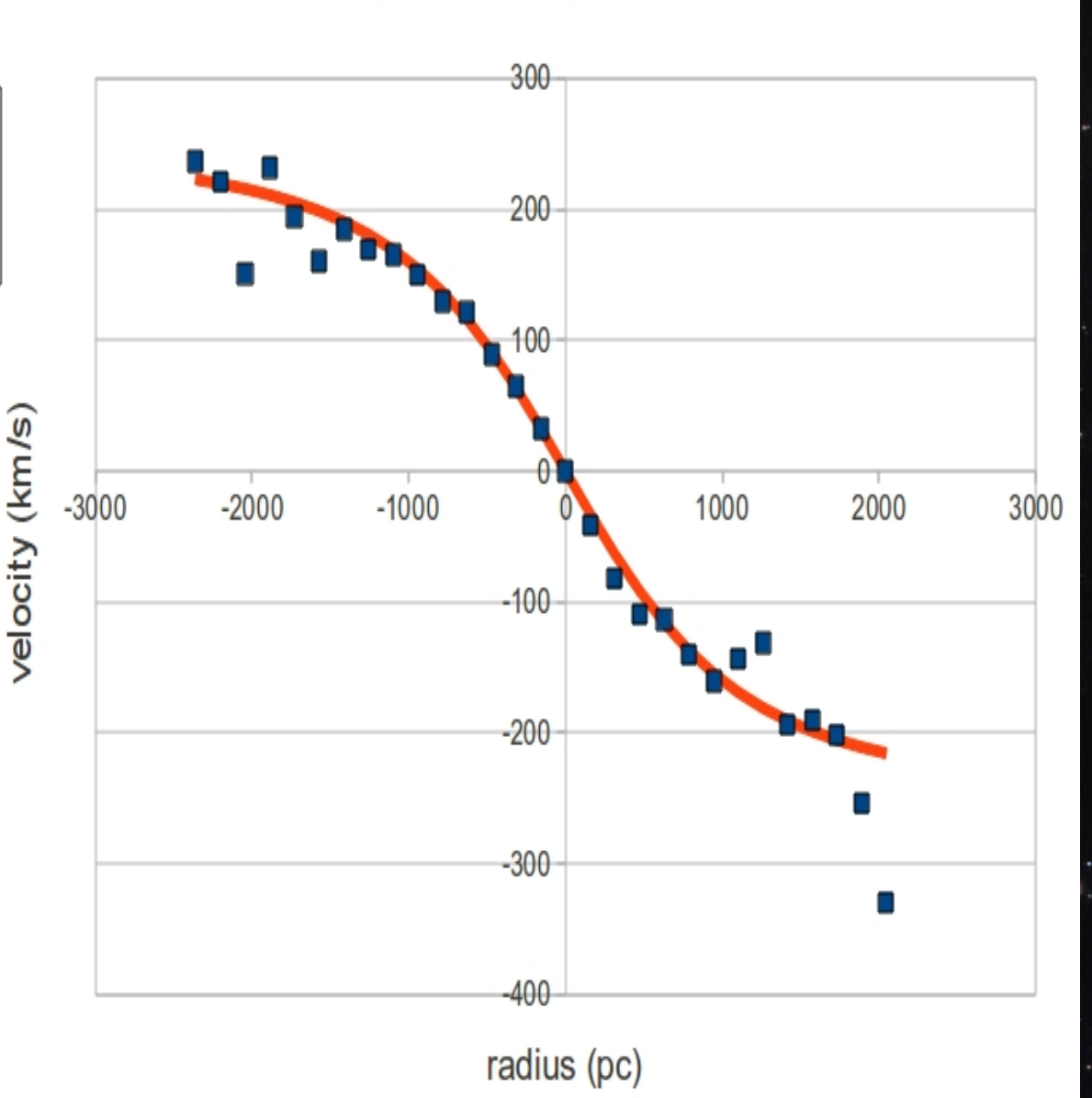


...si cerca di *fittare* al meglio i punti per ottenere una funzione interpolante

### Curva di velocità

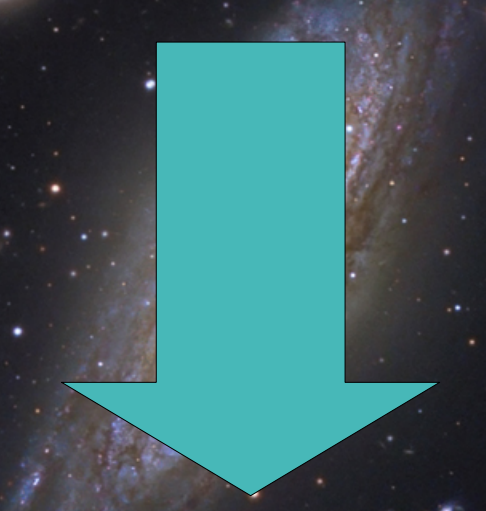
#### Comparison between observed velocity and model

Parameters a=250 c0=1200 p=1



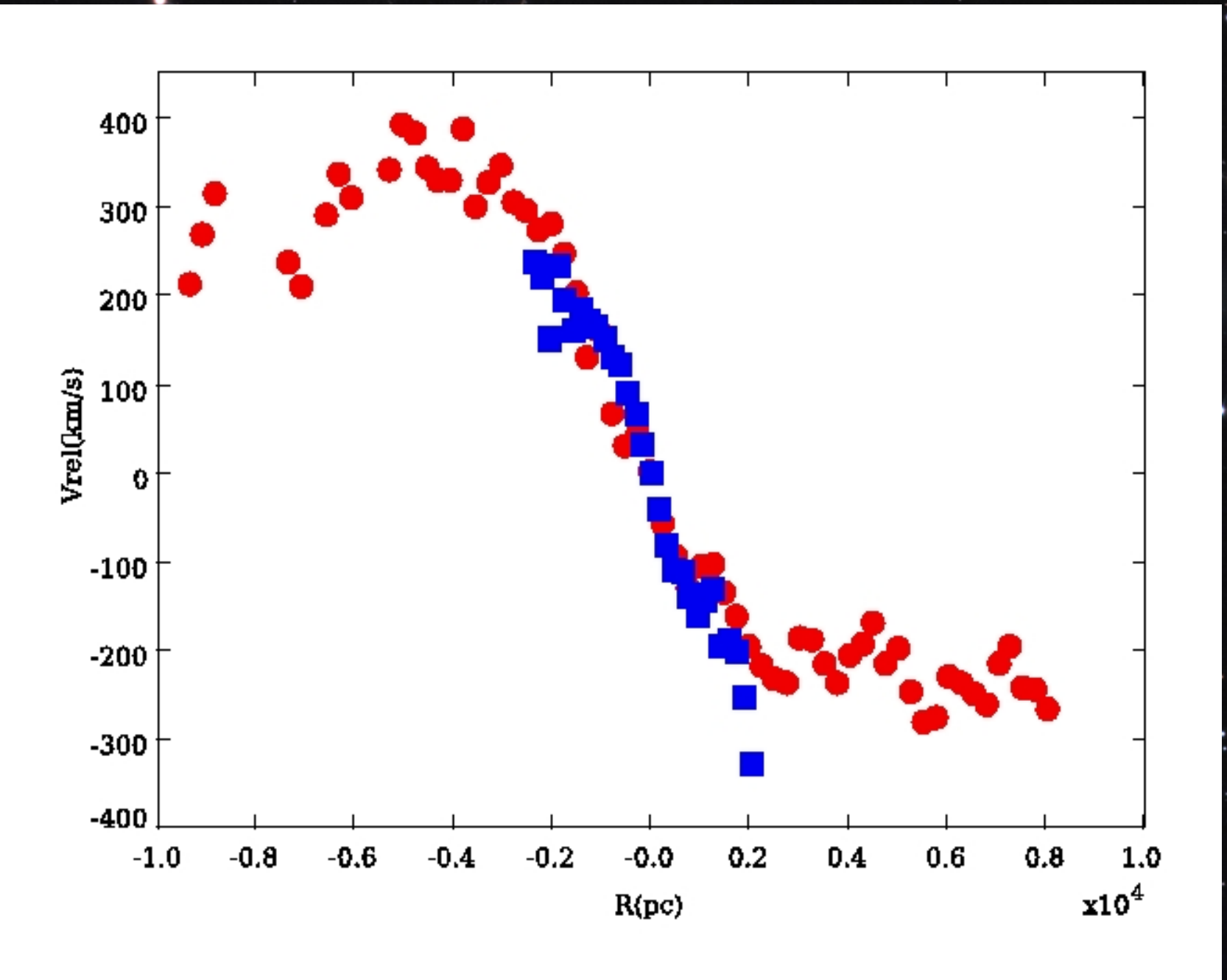
Si confronta la curva di velocità ottenuta con quella del gruppo di L. Angeli, M. Doda e U. Villani

Si confronta la curva di velocità ottenuta con quella del gruppo di L. Angeli, M. Doda e U. Villani



...si inseriscono entrambe nello stesso grafico e si osservano la Sovrapposizione delle due

#### Curve di velocità messe a confronto



Ringraziamo infine lo staff dell'Osservatorio Astrofisico di Asiago che ci ha assistito durante la realizzazione del progetto.